

(12) 按照专利合作条约所公布的国际申请

(19) 世界知识产权组织
国际局



(43) 国际公布日
2016年6月23日 (23.06.2016) WIPO | PCT



(10) 国际公布号

WO 2016/095279 A1

(51) 国际专利分类号:
G02F 1/1362 (2006.01)

(21) 国际申请号: PCT/CN2014/095587

(22) 国际申请日: 2014年12月30日 (30.12.2014)

(25) 申请语言: 中文

(26) 公布语言: 中文

(30) 优先权:

201410784300.3 2014年12月16日 (16.12.2014) CN

(71) 申请人: 深圳市华星光电技术有限公司 (SHENZHEN CHINA STAR OPTOELECTRONICS TECHNOLOGY CO., LTD.) [CN/CN]; 中国广东省深圳市光明新区塘明大道9-2号, Guangdong 518132 (CN)。

(72) 发明人: 陈彩琴 (CHEN, Caiqin); 中国广东省深圳市光明新区塘明大道9-2号, Guangdong 518132 (CN)。 许哲豪 (HSU, Je Hao); 中国广东省深圳市光明新区塘明大道9-2号, Guangdong 518132 (CN)。

(74) 代理人: 北京聿宏知识产权代理有限公司 (YUHONG INTELLECTUAL PROPERTY LAW FIRM); 中国北京市西城区宣武门外大街6号庄胜广场第一座西翼713室吴大建/刘华联, Beijing 100052 (CN)。

(81) 指定国 (除另有指明, 要求每一种可提供的国家保护): AE, AG, AL, AM, AO, AT, AU, AZ, BA, BB, BG, BH, BN, BR, BW, BY, BZ, CA, CH, CL, CN, CO, CR, CU, CZ, DE, DK, DM, DO, DZ, EC, EE, EG, ES, FI, GB, GD, GE, GH, GM, GT, HN, HR, HU, ID, IL, IN, IR, IS, JP, KE, KG, KN, KP, KR, KZ, LA, LC, LK, LR, LS, LU, LY, MA, MD, ME, MG, MK, MN, MW, MX, MY, MZ, NA, NG, NI, NO, NZ, OM, PA, PE, PG, PH, PL, PT, QA, RO, RS, RU, RW, SA, SC, SD, SE, SG, SK, SL, SM, ST, SV, SY, TH, TJ, TM, TN, TR, TT, TZ, UA, UG, US, UZ, VC, VN, ZA, ZM, ZW。

(84) 指定国 (除另有指明, 要求每一种可提供的地区保护): ARIPO (BW, GH, GM, KE, LR, LS, MW, MZ, NA, RW, SD, SL, ST, SZ, TZ, UG, ZM, ZW), 欧亚 (AM, AZ,

[见续页]

(54) Title: LIQUID CRYSTAL DISPLAY PANEL

(54) 发明名称: 一种液晶显示面板

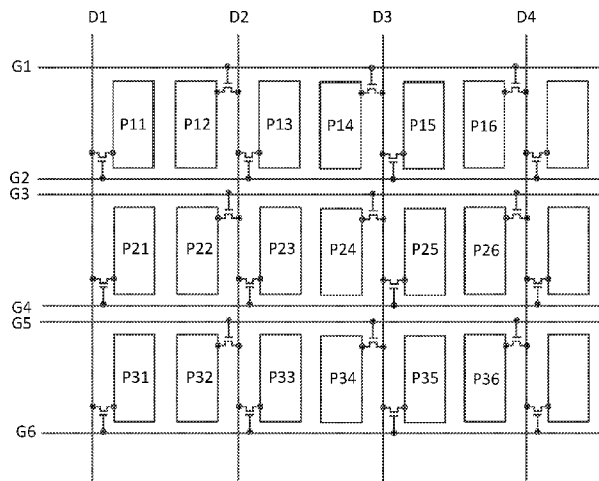


图 1 / Fig. 1

(57) Abstract: Provided is a liquid crystal display panel comprising a plurality of sub-pixels (P_{xy}) arranged in a pixel array, wherein the pixel array is formed by a plurality of data lines (D₁-D₄) and a plurality of scan lines (G₁-G₆) set in perpendicular. The scan lines (G₁-G₆) comprise a first scan line (G₃) which is opened in the first time (T₃) after the level of the driven signal of data lines (D₁-D₄) is reversed; and at least one second scan line (G₄) which is opened in the second time (T₄) after the first time (T₃). The RC delay of the second scan line (G₄) is greater than that of the first scan line (G₃).

(57) 摘要: 提供了一种液晶显示面板。包括配置在像素阵列中的多个亚像素 (P_{xy})，像素阵列由多条数据线 (D₁-D₄) 和多条扫描线 (G₁-G₆) 正交配置形成，多条扫描线 (G₁-G₆) 包括：第一扫描线 (G₃)，在数据线 (D₁-D₄) 驱动信号电平反转后的第一时间段 (T₃) 内开启；至少一条第二扫描线 (G₄)，在第一时间段 (T₃) 之后的第二时间段 (T₄) 内开启；其中，第二扫描线 (G₄) 的 RC 延迟大于第一扫描线 (G₃) 的 RC 延迟。

WO 2016/095279 A1

根据细则 4.17 的声明:

— 发明人资格(细则 4.17(iv))

本国际公布:

— 包括国际检索报告(条约第 21 条(3))。

BY, KG, KZ, RU, TJ, TM), 欧洲 (AL, AT, BE, BG,
CH, CY, CZ, DE, DK, EE, ES, FI, FR, GB, GR, HR, HU,
IE, IS, IT, LT, LU, LV, MC, MK, MT, NL, NO, PL, PT,
RO, RS, SE, SI, SK, SM, TR), OAPI (BF, BJ, CF, CG,
CI, CM, GA, GN, GQ, GW, KM, ML, MR, NE, SN, TD,
TG)。

一种液晶显示面板

相关申请的交叉引用

本申请要求享有 2014 年 12 月 16 日提交的名称为“一种液晶显示面板”的中国专利申请 CN201410784300.3 的优先权，其全部内容通过引用并入本文中。

技术领域

本发明涉及显示技术领域，具体地说，涉及一种液晶显示面板。

背景技术

随着液晶显示工艺的发展，目前各种液晶显示器大多具备低成本、低功耗和高性能的优点。液晶显示面板的各种元件往往通过精密设计进行整合，以在降低成本和功耗的同时保证最佳的显示效果。

在薄膜晶体管-液晶显示器（TFT-LCD）领域，液晶显示面板中需要设置大量的源极驱动电路与栅极驱动电路来进行垂直与水平方面的像素驱动。与源极驱动芯片相比而言，栅极驱动芯片的成本与耗电量均较低，因此可通过合理设计像素阵列的结构来减少数据线的数量，从而使用较少的源极驱动芯片，进而达到降低液晶显示器的制造成本及耗电量的目的。

例如，现有技术中半源极驱动 HSD (Half Source Driving) 像素阵列的左右相邻的亚像素共用一条数据线，使得数据线的数目相对于传统液晶驱动像素阵列的数据线数目减半。同一行的相邻亚像素连接不同的扫描线，同一行相隔一个亚像素的亚像素连接相同的扫描线，这样使得扫描线的数目相对于传统驱动像素阵列的扫描线数目加倍。

通常，在 HSD 像素阵列中可采用 2H 线反转驱动，即两行反转驱动方式。在两个扫描周期之内数据驱动信号电平的极性发生一次反转。由于扫描线数目的加倍使得分配到扫描线上的扫描时间减少，从而亚像素的充电时间减少。进一步，由于数据线具有一定的阻抗，电压信号在传输过程中会造成波形的延迟失真，越到数据线的末端失真越严重。这样导致在数据线尾端奇数列亚像素与偶数列亚像素充电率差异。例如，先驱动的奇数列亚像

素充电不足，亮度较低；相对而言，后驱动的偶数列亚像素充电较好，亮度较高。

这使得在同一帧周期内，液晶显示面板的亚像素在空间上呈现的亮暗程度并不均匀，HSD 像素阵列整体看来会产生亮暗线。

发明内容

本发明所要解决的技术问题是克服现有技术中液晶显示面板在空间上呈现的亮暗程度并不均匀的缺陷。

为了解决上述技术问题，本申请的实施例提供一种液晶显示面板，包括：

配置在像素阵列中的多个亚像素，所述像素阵列由多条数据线和多条扫描线正交配置形成，所述多条扫描线包括：

第一扫描线，其与第一亚像素连接，所述第一扫描线在数据线驱动信号电平极性反转后的第一时间段内开启，通过该数据线向第一亚像素充电；

至少一条第二扫描线，其分别与至少一个第二亚像素连接，所述第二扫描线在该第一时间段之后的第二时间段内开启，通过该数据线向第二亚像素充电；

其中，第二扫描线的 RC 延迟大于第一扫描线的 RC 延迟，以补偿该数据线对第一亚像素与对第二亚像素的充电率差异。

优选地，所述第二扫描线的布线电阻大于第一扫描线的布线电阻。

优选地，所述第二扫描线的厚度与第一扫描线的厚度相同，第二扫描线的宽度小于第一扫描线的宽度。

优选地，所述数据线用于驱动所述第一亚像素和所述至少一个第二亚像素，且所述数据线的驱动信号电平呈周期性反转。

优选地，在所述第二扫描线为一条的情况下，所述数据线驱动信号电平的反转周期为两个扫描周期。

优选地，在所述第二扫描线为两条的情况下，数据线驱动信号电平的反转周期为三个扫描周期。

优选地，所述数据线信号电平反转后的第一时间段与第二时间段的时间长度相等，所述第一扫描线与所述至少一条第二扫描线的开启时间相等。

优选地，所述数据线的驱动信号电平的极性在第一时间段与第二时间段内相同。

优选地，所述第二扫描线的驱动信号电平与第一扫描线的驱动信号电平大小相等，使得所述第一亚像素和所述至少一个第二亚像素的像素电极上的箝位电压相同。

优选地，所述像素阵列为半源极驱动像素阵列或者三栅型像素阵列。

本发明实施例提供的液晶显示面板通过配置扫描线不同的 RC 延迟来补偿数据线对亚像素的充电率差异，以使得亚像素在经过数据线充电后获得的稳定的保持电压数值一致，实现亚像素在空间上呈现均匀的亮暗程度，从而消除液晶显示面板中的亮暗线。

本发明的其它特征和优点将在随后的说明书中阐述，并且，部分地从说明书中变得显而易见，或者通过实施本发明而了解。本发明的目的和其他优点可通过在说明书、权利要求书以及附图中所特别指出的结构来实现和获得。

附图说明

附图用来提供对本申请技术方案或现有技术的进一步理解，并且构成说明书的一部分，但并不构成对本申请技术方案的限制。

图 1 是根据本发明实施例一的 HSD 液晶显示面板的结构示意图；

图 2 是现有技术中 HSD 面板数据线和扫描线上的驱动信号电压波形图；

图 3 是现有技术中 HSD 面板亚像素的像素电极电压变化波形图；

图 4 是实施例一中经过扫描线 RC 延迟补偿之后，亚像素的像素电极电压变化波形图；

图 5 是本发明实施例二的三栅型液晶显示面板的结构示意图；

图 6 是现有技术中三栅型面板数据线和扫描线上的驱动信号电压波形图；

图 7 是现有技术中三栅型面板亚像素的像素电极电压变化波形图；

图 8 是实施例二中经过扫描线 RC 延迟补偿之后，亚像素的像素电极电压变化波形图。

具体实施方式

为使本发明的目的、技术方案和优点更加清楚，以下结合附图对本发明作进一步地详细说明。本申请实施例以及实施例中的各个特征，在不相冲突的前提下可以相互结合，所形成的技术方案均在本发明的保护范围之内。

实施例一

图 1 为本实施例的半源极驱动 HSD (Half Source Driving) 液晶显示面板的结构示意图。如图 1 所示，该显示面板包括由多条数据线（如图中所示的数据线 D1、D2、D3、D4）与多条扫描线（如图中所示的扫描线 G1、G2、G3、G4）正交配置形成的像素阵列，以及配置在阵列中的多个亚像素 P11~P36。为了表述简洁，在此定义亚像素 P_{xy} 是设置于第 x 行、第 y 列。例如，亚像素 P12 设置于第 1 行、第 2 列，并以此类推。

亚像素 P12 与扫描线 G1 和数据线 D2 连接，亚像素 P13 与扫描线 G2 和数据线 D2 连接。P12 和 P13 分别设置在数据线 D2 的两侧。类似的，亚像素 P22 与扫描线 G3 和数据线 D2 连接，亚像素 P23 与扫描线 G4 和数据线 D2 连接。P22 和 P23 分别设置在数据线 D2 的两侧。其他亚像素的排布方式以此类推。

现有技术中，在同一帧周期内，HSD 液晶显示面板的亚像素在空间上呈现的亮暗程度并不均匀，HSD 像素阵列整体看来会产生沿垂直方向的亮暗线。产生这种缺陷的原因主要有两个。

第一个原因在于，数据线上存在 RC 延迟导致亚像素的充电率差异。在某一帧内数据线和扫描线上的驱动信号电压波形如图 2 所示。数据线 D2 上提供的驱动信号电平呈周期性反转。本实施例中，发生极性反转后的第一时间段为扫描周期 T3，第二时间段为扫描周期 T4。数据线 D2 用于驱动第一亚像素 P22 和第二亚像素 P23。在扫描周期 T3 中第一扫描线 G3 开启，数据线 D2 以正极性的数据信号电压为第一亚像素 P22 充电。同样的，在扫描周期 T4 中第二扫描线 G4 开启，数据线 D2 以正极性的数据信号电压为第二亚像素 P23 充电。如图 2 中虚线所示，由于数据线 D2 上存在 RC 延迟，在扫描周期 T3 初始的部分时间内数据线 D2 的驱动信号不能达到预定的充电电平，导致第一亚像素 P22 充电不足，呈现的亮度较低。而在扫描周期 T4 内数据线 D2 的驱动信号已稳定到达预定的充电电平，第二亚像素 P23 能被完全充电，呈现的亮度较高。

第二个原因在于，反转驱动方式导致的亚像素的充电率差异。通常 HSD 像素阵列采用 2H 反转驱动，即两行反转驱动方式。在两个扫描周期之内数据驱动信号电平的极性发生一次反转，即数据线驱动信号电平的反转周期为两个扫描周期。如图 2 所示，在扫描周期 T3 的初始时刻，数据线 D2 的驱动信号电平发生极性反转，由扫描周期 T2 的低电平跳变至扫描周期 T3 的高电平。此时由于数据线 D2 的驱动信号需要产生较大的电压变化，同样使得在扫描周期 T3 初始的部分时间内数据线 D2 的驱动信号不能达到预定的充电电

平，导致亚像素 P22 充电不足。相反的，在扫描周期 T4 的初始时刻，数据线 D2 的驱动信号电平并不会发生极性反转。在扫描周期 T4 内数据线 D2 的驱动信号可保持稳定的预定充电电平，亚像素 P23 能被完全充电。

从另一方面来说，由于亚像素间存在寄生电容，在扫描线关闭的瞬间亚像素的像素电极上产生馈通电压（feed through voltage），导致像素电极电压降低。馈通电压 ΔV_p 可表示为：

$$\Delta V_p = (V_{gh} - V_{gl}) * C_{gs} / (C_{st} + C_{lc} + C_{gs})$$

其中， V_{gh} 为扫描线驱动电压高电平，即开启电平； V_{gl} 为扫描线驱动电压低电平，即关断电平； C_{gs} 为寄生电容， C_{st} 为存储电容， C_{lc} 为液晶电容。

具体来说，亚像素 P22 和 P23 像素电极电压的波形变化如图 3 所示。

在扫描周期 T3 的初始时刻，扫描线 G3 开启，数据线 D2 的驱动信号不能达到预定的充电电平，数据线 D2 对亚像素 P22 的充电率较低。在扫描周期 T3 结束时，亚像素 P22 的像素电压 V_{p22} 达到最大值。在扫描线 G3 关闭之后，馈通电压 ΔV_{p22} 使像素电压 V_{p22} 逐渐降低至稳定的保持电压。

在扫描周期 T4 的初始时刻，扫描线 G4 开启，数据线 D2 的驱动信号保持稳定的预定充电电平，数据线 D2 对亚像素 P23 的充电率较高。在扫描周期 T4 结束时，亚像素 P23 的像素电压 V_{p23} 达到最大值，并且高于亚像素 P22 的像素电压 V_{p22} 的最大值。在扫描线 G4 关闭之后，馈通电压 ΔV_{p23} 使像素电压 V_{p23} 逐渐降低至稳定的保持电压。由于扫描线 G3 和 G4 的驱动信号电平完全相同，即馈通电压 $\Delta V_{p23} = \Delta V_{p22}$ ，使得亚像素 P22 获得的保持电压比亚像素 P23 获得的保持电压数值较低，导致亚像素 P22 最终呈现的亮度较低。

基于上述分析，本实施例通过配置扫描线不同的 RC 延迟来补偿数据线对亚像素的充电率差异，以使得亚像素在经过数据线充电后获得的稳定的保持电压数值一致，实现亚像素在空间上呈现均匀的亮暗程度，从而消除 HSD 液晶显示面板中的亮暗线。

再次如图 1 所示，可配置第二扫描线 G4 的 RC 延迟大于第一扫描线 G3 的 RC 延迟。具体的，在扫描线 G4 的厚度与扫描线 G3 的厚度相同的情况下，使扫描线 G4 的宽度小于扫描线 G3 的宽度，从而使得扫描线 G4 的布线电阻大于扫描线 G3 的布线电阻。

如此以来，亚像素 P22 和 P23 像素电极电压的波形变化如图 4 所示。

在扫描周期 T3 的初始时刻，扫描线 G3 开启，数据线 D2 的驱动信号电压不能达到预定的充电电平，数据线 D2 对亚像素 P22 的充电率较低。在扫描周期 T3 结束时，亚像素 P22 的像素电压 V_{p22} 达到最大值。在扫描线 G3 关闭之后，馈通电压 ΔV_{p22} 使像素电压 V_{p22} 逐渐降低至稳定的保持电压。

如图 4 所示，数据线 D2 的驱动信号的极性在扫描周期 T3 和 T4 内相同。并且在扫描周期 T4 的初始时刻，扫描线 G4 开启，数据线 D2 的驱动信号保持稳定的预定充电电平。同时，由于扫描线 G4 的 RC 延迟大于扫描线 G3 的 RC 延迟，扫描线 G4 并不能完全开启，实际施加到亚像素 P23 的扫描驱动电平的最大值 V_{gh} 小于预设电平值，使得数据线 D2 对亚像素 P23 的充电率较低。在扫描周期 T4 结束时，亚像素 P23 的像素电压 V_{p23} 达到最大值。

需要说明的是，第一时间段 T3 与第二时间段 T4 的时间长度相等，即扫描线 G3 开启的时间与扫描线 G4 开启的时间相等。并且，扫描线 G3 与扫描线 G4 提供的驱动信号电平数值相同。因此，本实施例并不需要改变现有技术中栅极驱动芯片和源极驱动芯片的驱动方式，能够与现有的驱动芯片实现良好兼容。

本实施例仅仅通过增大扫描线 G4 的 RC 延迟来补偿现有技术中数据线 D2 对亚像素 P22 和 P23 的充电率差异，使得亚像素 P22 和 P23 的充电率相同，即保证在扫描线 G4 关闭的时刻，亚像素 P23 的像素电压 V_{p23} 达到的最大值与亚像素 P22 的像素电压 V_{p22} 的最大值相同。在扫描线 G4 关闭之后，馈通电压 ΔV_{p23} 使像素电压 V_{p23} 逐渐降低至稳定的保持电压。

再者，由于扫描线 G3 与扫描线 G4 提供的驱动信号电平数值相同，即 G3 与 G4 提供的开启电平 V_{gh} 数值相同，且 G3 与 G4 提供的关断电平 V_{gl} 数值相同。引起馈通电压的电平差值 (V_{gh}-V_{gl}) 在扫描线 G4 与 G3 关闭的时刻完全相同，可保证馈通电压 $\Delta V_{p23}=\Delta V_{p22}$ 。这样，亚像素 P22 获得的保持电压与亚像素 P23 获得的保持电压数值相同，从而使亚像素 P22 和亚像素 P23 最终呈现的亮度相同。

需要说明的是，可针对上文描述的导致亮暗线缺陷的两个原因，配置第二扫描线 G4 的 RC 延迟与第一扫描线 G3 的 RC 延迟之间的差值。即扫描线 G4 较大的 RC 延迟用于补偿数据线 D2 上存在 RC 延迟导致亚像素的充电率差异，以及用于补偿 2H 反转驱动方式导致的亚像素的充电率差异。

并且，本实施例中通过合理配置扫描线 G4 的 RC 延迟与扫描线 G3 的 RC 延迟之间

的差值，来使得实际提供给亚像素的扫描驱动信号高电平 V_{gh} 在扫描线 G4 关闭时刻与扫描线 G3 关闭时刻完全相同，从而保证馈通电压 $\Delta V_{p23}=\Delta V_{p22}$ 。

本领域技术人员容易理解，对于 HSD 液晶显示面板和普通的液晶显示面板，均适用于 2H 反转驱动方式。可配置奇数扫描线和偶数扫描线的采用不同的布线宽度来补偿该数据线对亚像素的充电率差异，从而使奇数列亚像素和偶数列亚像素最终的充电电压趋于一致，来消除沿垂直方向的亮暗线。

实施例二

图 5 为本实施例的三栅型(Tri-Gate)液晶显示面板的结构示意图。如图 5 所示，显示面板包括由多条数据线（如图中所示的数据线 D1~D6）与多条扫描线（如图中所示的扫描线 G1~G6）正交配置形成的像素阵列，以及配置在阵列中的多个亚像素 P11~P66。其中，红色亚像素 (R) P11、绿色亚像素 (G) P21 以及蓝色亚像素 (B) P31 组成一个像素单元。

在分辨率为 $n*m$ 的情况下，三栅型液晶显示面板的扫描线数目为 $3m$ 条，数据线数据为 n 条，而普通显示面板的扫描线数目为 m 条，数据线数据为 $3n$ 条。换言之，与普通显示面板相比较，在相同的分辨率下，三栅型液晶显示面板的扫描线的数量增加为三倍，而数据线的数量则减少为三分之一。也就是说，三栅型液晶显示面板采用较多的栅极驱动芯片和较少的源极驱动芯片，可降低制造成本及耗电量。

在同一帧周期内，本实施例的液晶显示面板的亚像素在空间上呈现的亮暗程度并不均匀，三栅型像素阵列整体看来会产生沿水平方向的亮暗线。这一缺陷产生的原因如下文所述。

在某一帧内，数据线和扫描线上的驱动信号电压波形如图 6 所示。数据线 D1 上提供的驱动信号电平呈周期性反转。本实施例中，发生极性反转后的第一时间段为扫描周期 T4，一个第二时间段为扫描周期 T5，另一第二时间段为扫描周期 T6。在本实施例中，数据线 D1 用于驱动第一亚像素 P41、第二亚像素 P51 和另一第二亚像素 P61。在扫描周期 T4 中第一扫描线 G4 开启，数据线 D1 以正极性的数据信号电压为亚像素 P41 充电。在扫描周期 T5 中，第二扫描线 G5 开启，数据线 D1 以正极性的数据信号电压为亚像素 P51 充电。同样的，在扫描周期 T6 中，另一第二扫描线 G6 开启，数据线 D1 为 P61 充电。与普通显示面板相比，亚像素的充电时间减少了三分之二，这导致了数据线对亚像素充电不足的问题。

如图 6 中虚线所示，由于数据线 D1 上存在 RC 延迟，在扫描周期 T4 初始的部分时间内，数据线 D1 的驱动信号不能达到预定的充电电平，导致亚像素 P41 充电不足，呈现的亮度较低。而在扫描周期 T4 和 T5 内数据线 D1 已稳定到达预定的充电电平，亚像素 P51 和 P61 能被完全充电，呈现的亮度较高。

再者，三栅型像素阵列采用 3H 反转驱动方式，即三行反转驱动方式。在三个扫描周期之内数据驱动信号电平的极性发生一次反转，即数据线驱动信号电平的反转周期为三个扫描周期。如图 6 所示，在扫描周期 T4 的初始时刻，数据线 D1 的驱动信号电平发生极性反转，由扫描周期 T3 的低电平跳变至扫描周期 T4 的高电平。由于数据线 D1 的驱动信号需要产生较大的电压变化，同样使得在扫描周期 T4 初始的部分时间内数据线 D1 的驱动信号不能达到预定的充电电平，导致亚像素 P41 充电不足。相反的，在扫描周期 T5 和 T6 的初始时刻，数据线 D1 的驱动信号电平并不会发生极性反转。在扫描周期 T5 和 T6 内数据线 D1 的驱动信号可保持稳定的预定充电电平，亚像素 P51 和 P61 能被完全充电。

此外，与实施例一类似，受到寄生电容引起的馈通电压的影响，亚像素 P41、P51 和 P61 像素电极电压的波形变化如图 7 所示。

在扫描周期 T4 的初始时刻，扫描线 G4 开启，数据线 D1 的驱动信号电平不能达到预定的充电电平，数据线 D1 对亚像素 P41 的充电率较低。在扫描周期 T4 结束时，亚像素 P41 的像素电压 V_{p41} 达到最大值。在扫描线 G4 关闭之后，馈通电压 ΔV_{p41} 使像素电压 V_{p41} 逐渐降低至稳定的保持电压。

在扫描周期 T5 的初始时刻，扫描线 G5 开启，数据线 D1 的驱动信号保持稳定的预定充电电平，数据线 D1 对亚像素 P41 的充电率较高。在扫描周期 T5 结束时，亚像素 P51 的像素电压 V_{p51} 达到最大值，并且高于亚像素 P41 的像素电压 V_{p41} 的最大值。在扫描线 G5 关闭之后，馈通电压 ΔV_{p51} 使像素电压 V_{p51} 逐渐降低至稳定的保持电压。

类似的，在扫描周期 T6 的初始时刻，扫描线 G6 开启，数据线 D1 对亚像素 P61 的充电率较高。在扫描线 G6 关闭之后，馈通电压 ΔV_{p61} 使像素电压 V_{p61} 逐渐降低至稳定的保持电压。

由于扫描线 G4、G5 和 G6 的驱动信号电平完全相同，即馈通电压 $\Delta V_{p41}=\Delta V_{p51}=\Delta V_{p61}$ ，使得在同一帧周期内亚像素 P41 获得的稳定的像素电压 V_{p41} 比亚像素 P51 和 P61 获得的稳定的像素电压均数值较低，导致亚像素 P41 最终呈现的亮度较低，而亚像素 P51 和 P61 呈现的亮度较高。

基于上述分析，本实施例通过配置扫描线不同的 RC 延迟来补偿数据线对亚像素的充电率差异。

再次如图 5 所示，可配置第二扫描线 G5 和 G6 的 RC 延迟大于第一扫描线 G4 的 RC 延迟。具体的，在扫描线 G5 和 G6 的厚度与扫描线 G4 的厚度相同的情况下，使扫描线 G5 和 G6 的宽度小于扫描线 G4 的宽度，从而使得扫描线 G5 和 G6 的布线电阻大于扫描线 G4 的布线电阻。

如此以来，亚像素 P41、P51 和 P61 像素电极电压的波形变化如图 8 所示。

在扫描周期 T4 的初始时刻，数据线 D1 的驱动信号不能达到预定的充电电平，数据线 D1 对亚像素 P41 的充电率较低。在扫描周期 T4 结束时，亚像素 P41 的像素电压 Vp41 达到最大值。在扫描线 G4 关闭之后，馈通电压 ΔV_{p41} 使像素电压 Vp41 逐渐降低至稳定的保持电压。

如图 8 所示，数据线 D1 的驱动信号的极性在扫描周期 T4 和 T5 内相同。并且在扫描周期 T5 的初始时刻，数据线 D1 的驱动信号保持稳定的预定充电电平。由于扫描线 G5 的 RC 延迟大于扫描线 G4 的 RC 延迟，扫描线 G5 并不能完全开启，实际施加到亚像素 P51 的扫描驱动信号电平的最大值 Vgh 小于预设的充电电平，使得数据线 D1 对亚像素 P51 的充电率较低。在扫描周期 T5 结束时，亚像素 P51 的像素电压 Vp51 达到最大值。

需要说明的是，扫描周期 T4、T5、T6 的时间长度相等，即扫描线 G4 开启的时间与扫描线 G5、G6 开启的时间相等。并且，扫描线 G4 与扫描线 G5、G6 提供的驱动信号电平数值相同。因此，本实施例并不需要改变现有技术中三栅型液晶显示器栅极驱动芯片和源极驱动芯片的驱动方式，能够与现有的驱动芯片实现良好兼容。

本实施例仅仅通过增大扫描线 G5 和 G6 的 RC 延迟来补偿现有技术中数据线 D1 对亚像素 P41、P51 和 P61 的充电率差异，使得亚像素 P41、P51 和 P61 的充电率相同。即保证在扫描线 G5 关闭的时刻，亚像素 P51 的像素电压 Vp51 达到的最大值与亚像素 P41 的像素电压 Vp41 的最大值相同。且在扫描线 G6 关闭的时刻，亚像素 P61 的像素电压 Vp61 达到的最大值与亚像素 P41 的像素电压 Vp41 的最大值相同。

在扫描线 G5 关闭之后，馈通电压 ΔV_{p51} 使像素电压 Vp51 逐渐降低至稳定的电压值。类似的，在扫描线 G6 关闭之后，馈通电压 ΔV_{p61} 使像素电压 Vp61 逐渐降低至稳定的电压值。

再者，由于扫描线 G4、G5、G6 提供的驱动信号电平数值相同，即 G4、G5 与 G6 提供的开启电平 V_{gh} 数值相同，且 G4、G5 与 G6 提供的关断电平 V_{gl} 数值相同。因此，引起馈通电压的电平差值 ($V_{gh}-V_{gl}$) 在扫描线 G5 与 G4 关闭时刻完全相同，可保证馈通电压 $\Delta V_{p51}=\Delta V_{p41}$ 。这样，亚像素 P51 获得的保持电压与亚像素 P41 获得的保持电压数值相同，从而使亚像素 P51 和亚像素 P41 最终呈现的亮度相同。类似的，也可保证馈通电压 $\Delta V_{p61}=\Delta V_{p41}$ ，从而使亚像素 P61 和亚像素 P41 最终呈现的亮度相同。

需要说明的是，可针对上文所述的导致亮暗线缺陷的两个原因，配置第二扫描线 G5 和 G6 的 RC 延迟与第一扫描线 G4 的 RC 延迟之间的差值。

即扫描线 G5 和 G6 较大的 RC 延迟用于补偿数据线 D1 上存在 RC 延迟导致亚像素的充电率差异，以及用于补偿 3H 反转驱动方式导致的亚像素的充电率差异。

并且，本实施例中通过合理配置扫描线 G5、G6 的 RC 延迟与扫描线 G4 的 RC 延迟之间的差值，来使得实际提供给亚像素的扫描驱动信号高电平 V_{gh} 在扫描线 G5、G6 关闭时刻与扫描线 G4 关闭时刻相同，从而保证馈通电压 $\Delta V_{p41}=\Delta V_{p51}=\Delta V_{p61}$ 。

因此，本领域技术人员容易理解，对于三栅型液晶显示面板，可配置第 $3k+1$ 条、第 $3k+2$ 条扫描线采用与第 $3k$ 条扫描线不同的布线宽度来补偿该数据线对亚像素的充电率差异 (k 为整数， $k \geq 0$)，从而使每一行亚像素最终的充电电压趋于一致，来消除沿水平方向分布的亮暗线。

此外，对于实施例一中的 HSD 液晶显示面板，以及普通的液晶显示面板，也同样适用于 3H 反转驱动方式。这种反转驱动方式下，也可通过配置第 $3k+1$ 条、第 $3k+2$ 条扫描线采用与第 $3k$ 条扫描线不同的布线宽度来补偿该数据线对亚像素的充电率差异，来消除显示亮度不均匀的缺陷。

虽然本发明所公开的实施方式如上，但所述的内容只是为了便于理解本发明而采用的实施方式，实施例中采用的 2H 反转驱动方式和 3H 反转驱动方式并非用以限定本发明。本发明也可适用于其他的反转驱动方式。任何本发明所属技术领域内的技术人员，在不脱离本发明所公开的精神和范围的前提下，可以在实施的形式上及细节上作任何的修改与变化，但本发明的专利保护范围，仍须以所附的权利要求书所界定的范围为准。

权利要求书

1、一种液晶显示面板，包括：

配置在像素阵列中的多个亚像素，所述像素阵列由多条数据线和多条扫描线正交配置形成，所述多条扫描线包括：

第一扫描线，其与第一亚像素连接，所述第一扫描线在数据线驱动信号电平极性反转后的第一时间段内开启，通过该数据线向第一亚像素充电；

至少一条第二扫描线，其分别与至少一个第二亚像素连接，所述第二扫描线在该第一时间段之后的第二时间段内开启，通过该数据线向第二亚像素充电；

其中，第二扫描线的 RC 延迟大于第一扫描线的 RC 延迟，以补偿该数据线对第一亚像素与对第二亚像素的充电率差异。

2、根据权利要求 1 所述的液晶显示面板，其中，所述第二扫描线的布线电阻大于第一扫描线的布线电阻。

3、根据权利要求 1 所述的液晶显示面板，其中，所述第二扫描线的厚度与第一扫描线的厚度相同，第二扫描线的宽度小于第一扫描线的宽度。

4、根据权利要求 2 所述的液晶显示面板，其中，所述数据线用于驱动所述第一亚像素和所述至少一个第二亚像素，且所述数据线的驱动信号电平呈周期性反转。

5、根据权利要求 3 所述的液晶显示面板，其中，所述数据线用于驱动所述第一亚像素和所述至少一个第二亚像素，且所述数据线的驱动信号电平呈周期性反转。

6、根据权利要求 4 所述的液晶显示面板，其中，在所述第二扫描线为一条的情况下，所述数据线驱动信号电平的反转周期为两个扫描周期。

7、根据权利要求 5 所述的液晶显示面板，其中，在所述第二扫描线为一条的情况下，所述数据线驱动信号电平的反转周期为两个扫描周期。

8、根据权利要求 4 所述的液晶显示面板，其中，在所述第二扫描线为两条的情况下，数据线驱动信号电平的反转周期为三个扫描周期。

9、根据权利要求 5 所述的液晶显示面板，其中，在所述第二扫描线为两条的情况下，数据线驱动信号电平的反转周期为三个扫描周期。

10、根据权利要求 4 所述的液晶显示面板，其中，所述数据线信号电平反转后的第一

时间段与第二时间段的时间长度相等，所述第一扫描线与所述至少一条第二扫描线的开启时间相等。

11、根据权利要求 5 所述的液晶显示面板，其中，所述数据线信号电平反转后的第一时间段与第二时间段的时间长度相等，所述第一扫描线与所述至少一条第二扫描线的开启时间相等。

12、根据权利要求 10 所述的液晶显示面板，其中，所述数据线的驱动信号电平的极性在第一时间段与第二时间段内相同。

13、根据权利要求 11 所述的液晶显示面板，其中，所述数据线的驱动信号电平的极性在第一时间段与第二时间段内相同。

14、根据权利要求 12 所述的液晶显示面板，其中，所述第二扫描线的驱动信号电平与第一扫描线的驱动信号电平数值相等，使得所述第一亚像素和所述至少一个第二亚像素的像素电极上的馈通电压相同。

15、根据权利要求 13 所述的液晶显示面板，其中，所述第二扫描线的驱动信号电平与第一扫描线的驱动信号电平数值相等，使得所述第一亚像素和所述至少一个第二亚像素的像素电极上的馈通电压相同。

16、根据权利要求 14 所述的液晶显示面板，其中，所述像素阵列为半源极驱动像素阵列或者三栅型像素阵列。

17、根据权利要求 15 所述的液晶显示面板，其中，所述像素阵列为半源极驱动像素阵列或者三栅型像素阵列。

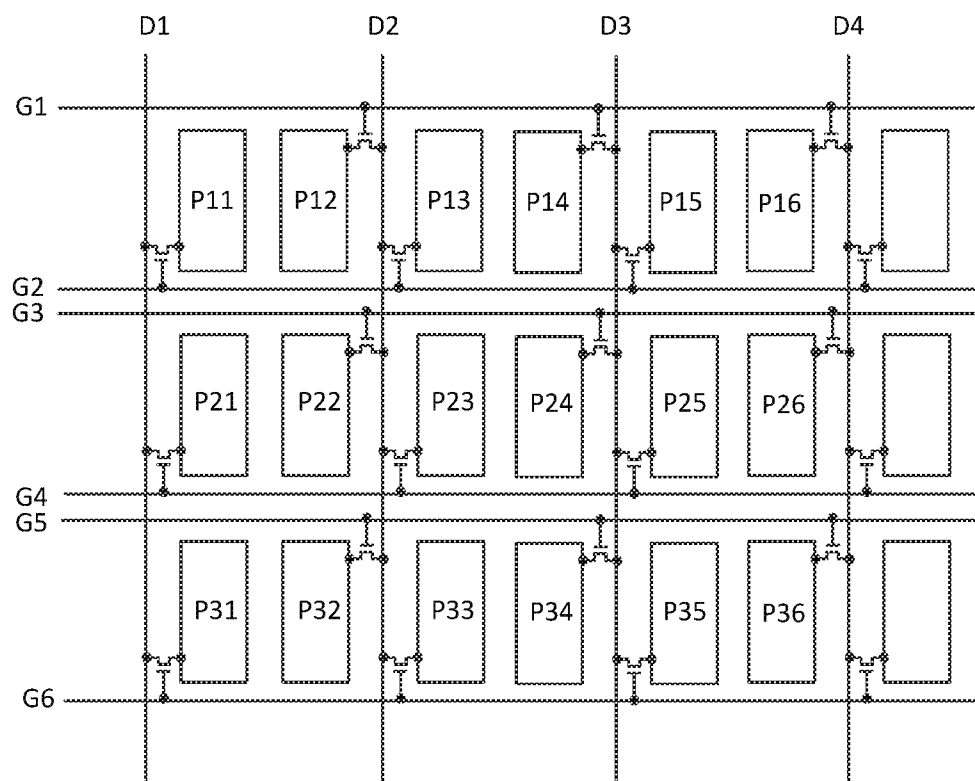


图 1

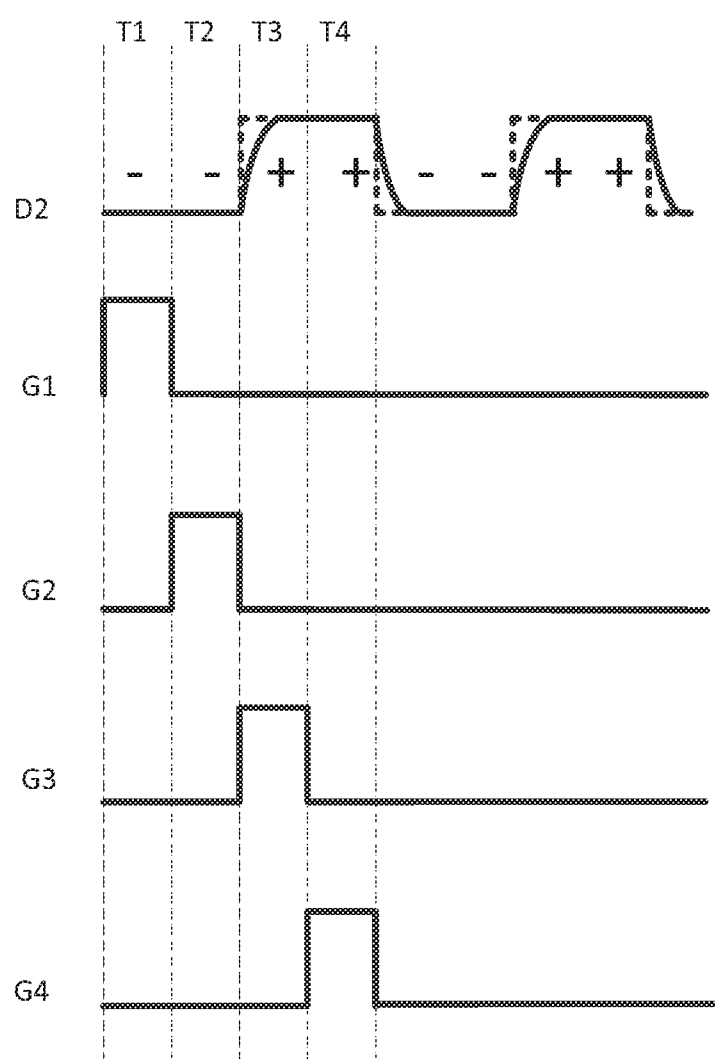


图 2

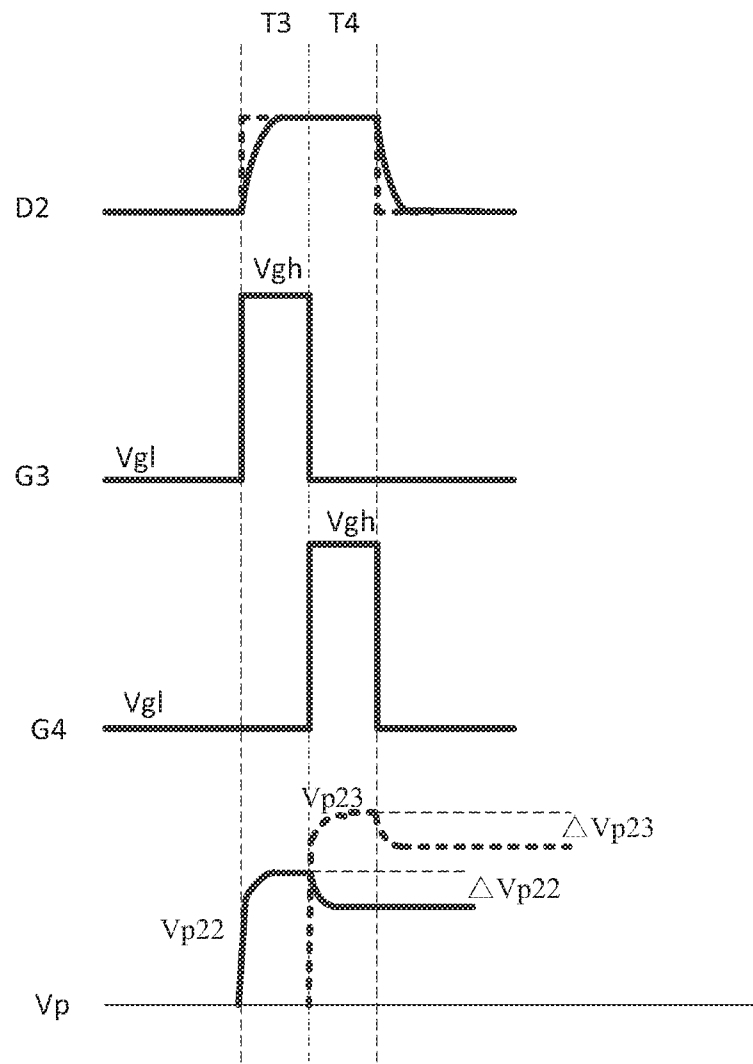


图 3

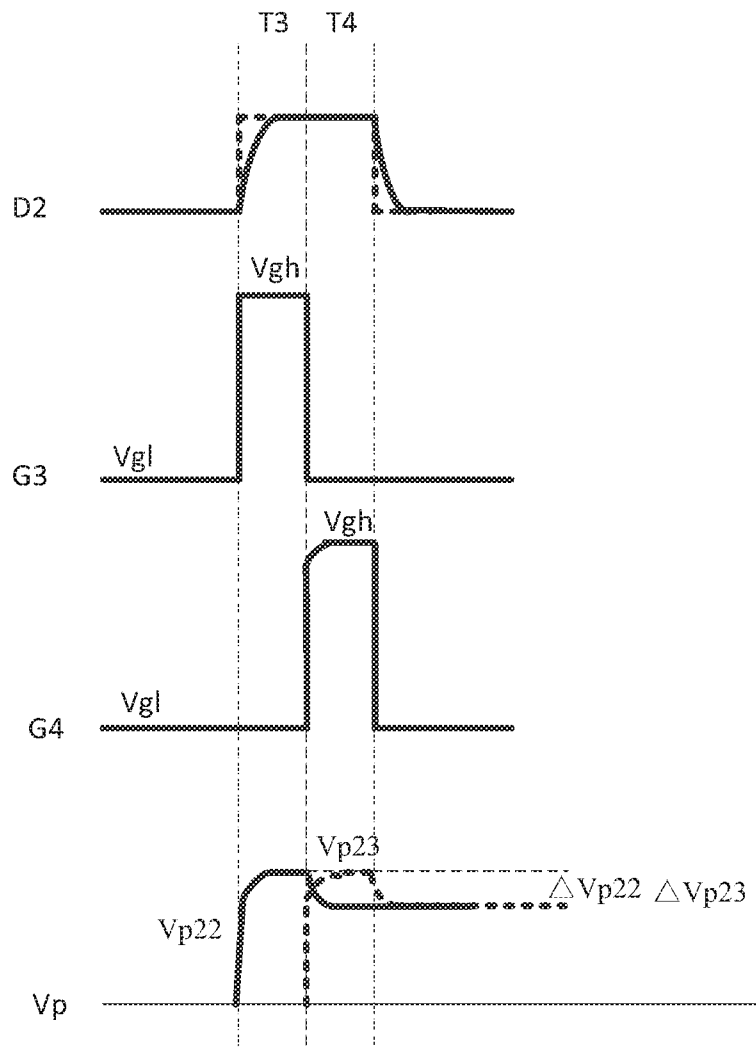


图 4

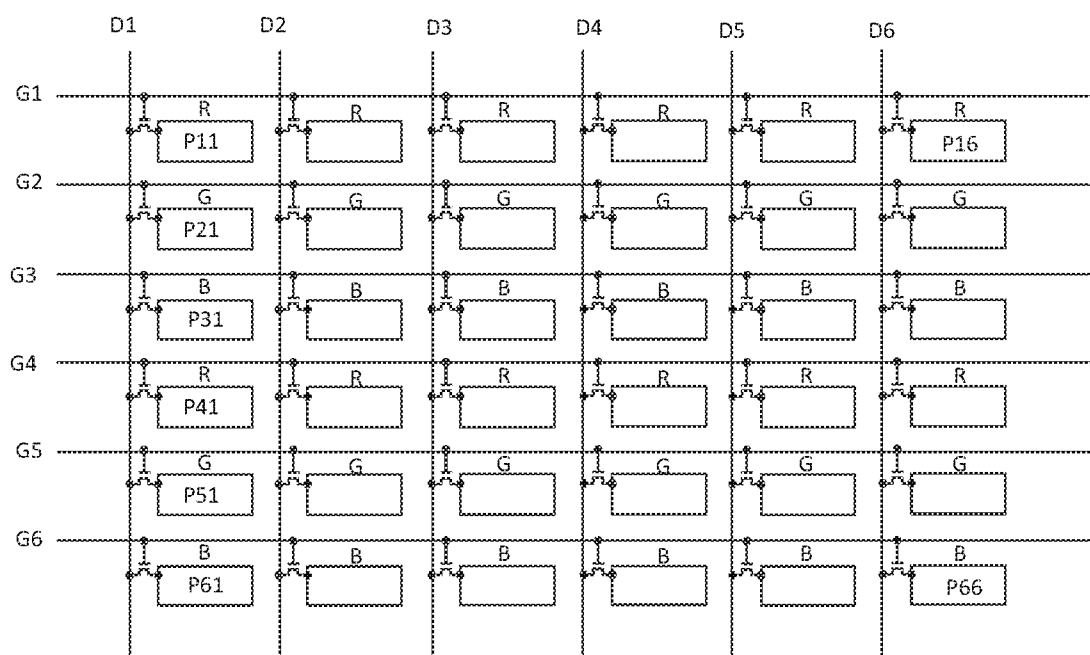


图 5

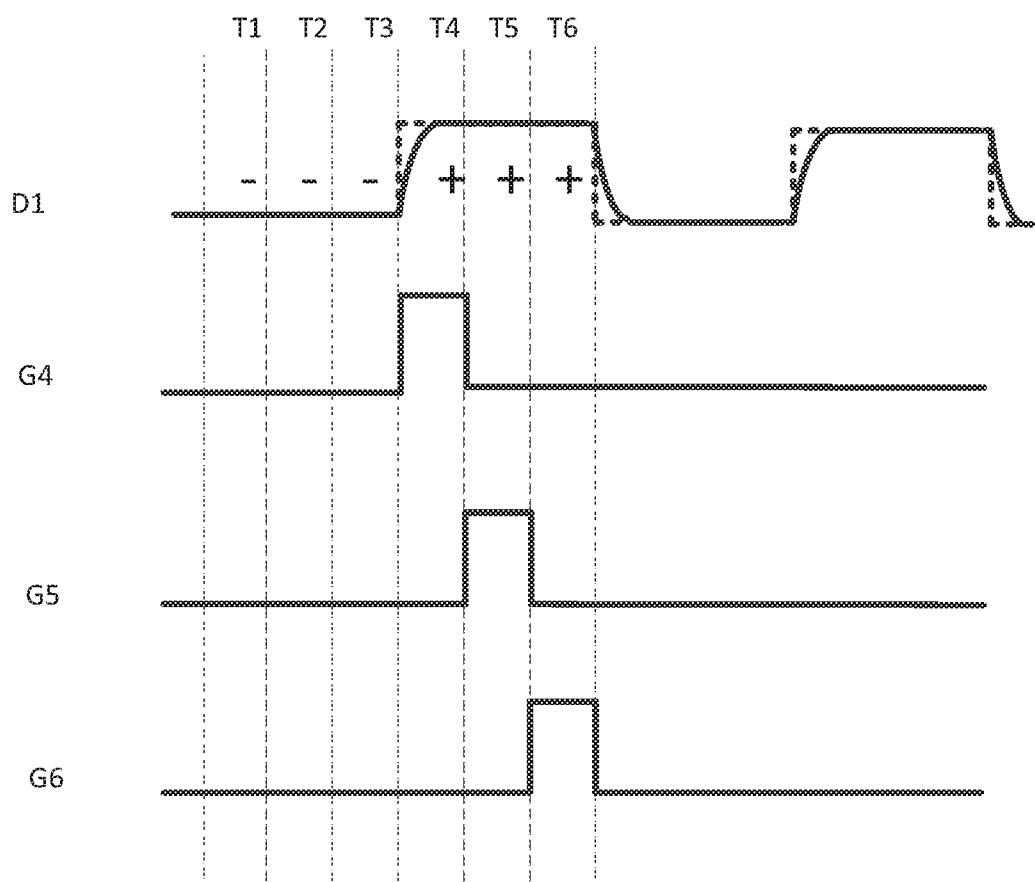


图 6

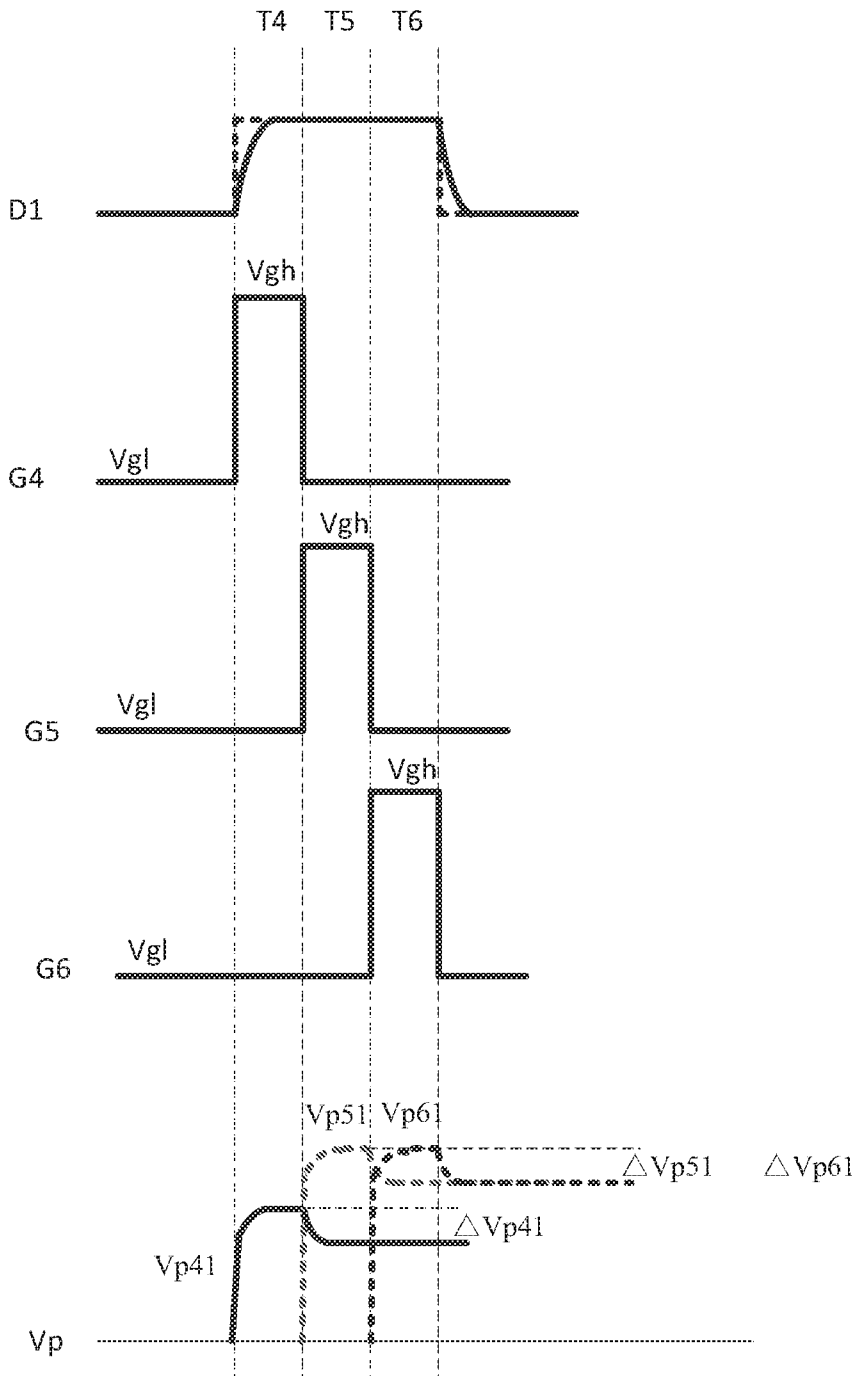


图 7

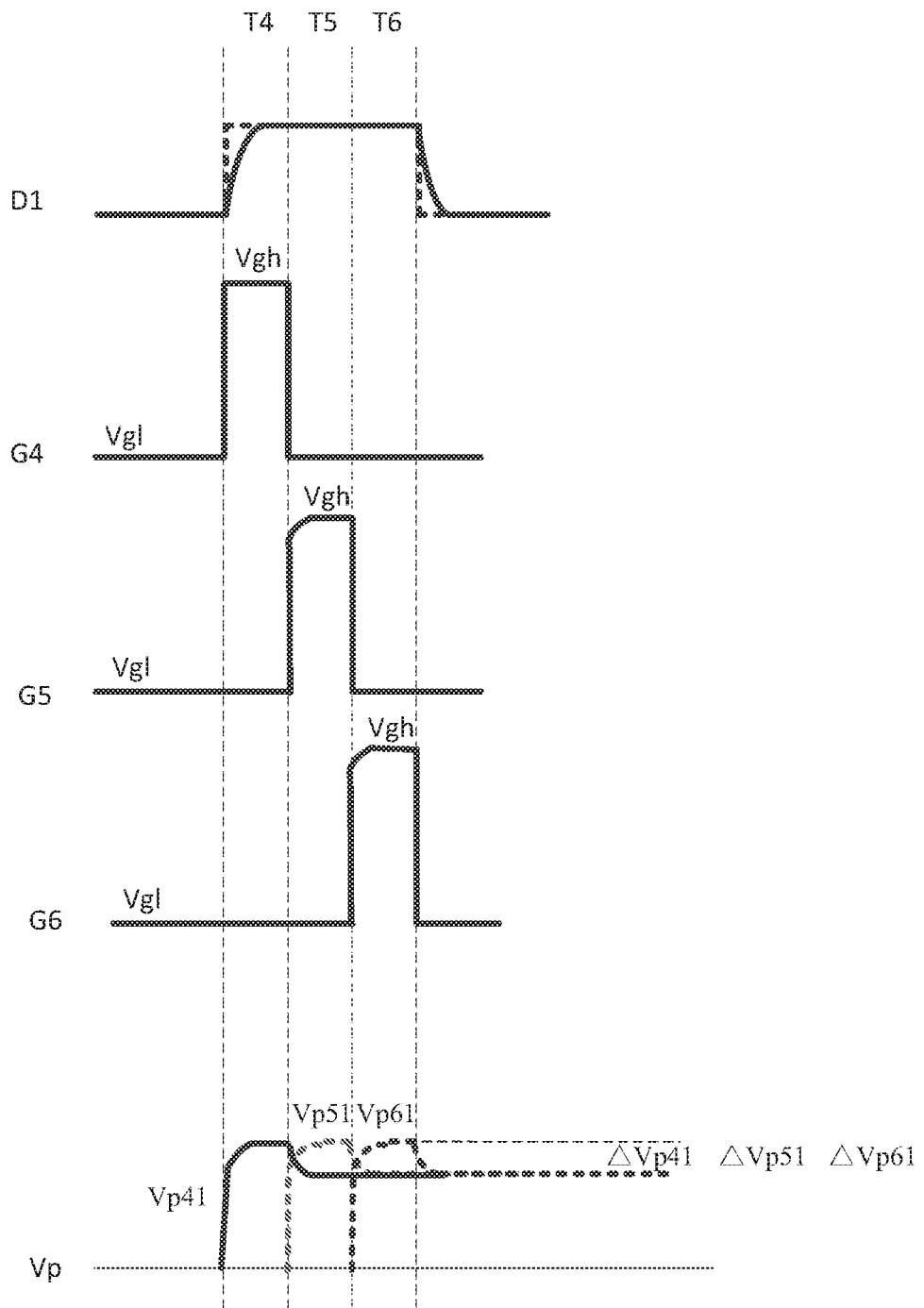


图 8

INTERNATIONAL SEARCH REPORT

International application No.

PCT/CN2014/095587

A. CLASSIFICATION OF SUBJECT MATTER

G02F 1/1362 (2006.01) i

According to International Patent Classification (IPC) or to both national classification and IPC

B. FIELDS SEARCHED

Minimum documentation searched (classification system followed by classification symbols)

G02F

Documentation searched other than minimum documentation to the extent that such documents are included in the fields searched

Electronic data base consulted during the international search (name of data base and, where practicable, search terms used)

USTXT; EPTXT; CNTXT; CNABS; WOTXT; VEN: gate, line?, wir+, scan+, wid+, even, narrow, rc, delay?, thick+, odd, first, thin+, second, resistance

C. DOCUMENTS CONSIDERED TO BE RELEVANT

Category*	Citation of document, with indication, where appropriate, of the relevant passages	Relevant to claim No.
A	CN 1949067 A (SAMSUNG ELECTRONICS CO., LTD.) 18 April 2007 (18.04.2007) description, pages 12 to 18 and figures 4, 5 and 8A	1-17
A	CN 102566166 A (BEIJING BOE OPTOELECTRONICS TECHNOLOGY CO., LTD.) 11 July 2012 (11.07.2012) the whole document	1-17
A	CN 101644867 A (SVA GROUP CO., LTD.) 10 February 2010 (10.02.2010) the whole document	1-17
A	KR 20030058758 A (LG PHILIPS LCD CO., LTD.) 07 July 2003 (07.07.2003) the whole document	1-17
A	US 2009195489 A1 (INNOLUX DISPLAY CORP.) 06 August 2009 (06.08.2009) the whole document	1-17
A	KR 20070074789 A (SAMSUNG ELECTRONICS CO., LTD.) 18 July 2007 (18.07.2007) the whole document	1-17

Further documents are listed in the continuation of Box C.

See patent family annex.

* Special categories of cited documents:

“A” document defining the general state of the art which is not considered to be of particular relevance

“E” earlier application or patent but published on or after the international filing date

“L” document which may throw doubts on priority claim(s) or which is cited to establish the publication date of another citation or other special reason (as specified)

“O” document referring to an oral disclosure, use, exhibition or other means

“P” document published prior to the international filing date but later than the priority date claimed

“T” later document published after the international filing date or priority date and not in conflict with the application but cited to understand the principle or theory underlying the invention

“X” document of particular relevance; the claimed invention cannot be considered novel or cannot be considered to involve an inventive step when the document is taken alone

“Y” document of particular relevance; the claimed invention cannot be considered to involve an inventive step when the document is combined with one or more other such documents, such combination being obvious to a person skilled in the art

“&” document member of the same patent family

Date of the actual completion of the international search
17 August 2015

Date of mailing of the international search report
22 September 2015

Name and mailing address of the ISA
State Intellectual Property Office of the P. R. China
No. 6, Xitucheng Road, Jimenqiao
Haidian District, Beijing 100088, China
Facsimile No. (86-10) 62019451

Authorized officer
ZHANG, Hua
Telephone No. (86-10) 62089908

INTERNATIONAL SEARCH REPORT

International application No.

PCT/CN2014/095587

C (Continuation). DOCUMENTS CONSIDERED TO BE RELEVANT

Category*	Citation of document, with indication, where appropriate, of the relevant passages	Relevant to claim No.
A	JP 2007017928 A (SANYO EPSON IMAGING DEVICES CORP.) 25 January 2007 (25.01.2007) the whole document	1-17

INTERNATIONAL SEARCH REPORT

Information on patent family members

International application No.

PCT/CN2014/095587

Patent Documents referred in the Report	Publication Date	Patent Family	Publication Date
CN 1949067A	18 April 2007	JP 5143393 B2 JP 2007108755 A CN 1949067 B KR 101240647 B1 US 7764350 B2 KR 20070040953 A US 2007085959 A1 EP 1775624 A1	13 February 2013 26 April 2007 15 September 2010 08 March 2013 27 July 2010 18 April 2007 19 April 2007 18 April 2007
CN 102566166 A	11 July 2012	KR 101321218 1 US 2012161140 A1 KR 20120071364 A JP 2012133367 A	23 October 2013 28 June 2012 02 July 2012 12 July 2012
CN 101644867 A	10 February 2010	CN 101644867 B	18 May 2011
KR 20030058758 A	07 July 2003	KR 100798316 B1	28 January 2008
US 2009195489 A1	06 August 2009	TW 200935149 A TW 367381 B1	16 August 2009 01 July 2012
KR 20070074789 A	18 July 2007	None	
JP 2007017928 A	25 January 2007	None	

国际检索报告

国际申请号

PCT/CN2014/095587

A. 主题的分类

G02F 1/1362(2006. 01) i

按照国际专利分类(IPC)或者同时按照国家分类和IPC两种分类

B. 检索领域

检索的最低限度文献(标明分类系统和分类号)

G02F

包含在检索领域中的除最低限度文献以外的检索文献

在国际检索时查阅的电子数据库(数据库的名称, 和使用的检索词(如使用))

USTXT;EPTXT;CNTXT;CNABS;WOTXT;VEN:窄, 薄, 奇数, gate, line?, wir+, scan+, 第一, wid+, even, rc延迟, 栅线, 厚, narrow, delay?, 第二, 栅极线, 扫描?线, 电阻, 延迟, thick+, odd, first, rc, thin+, second, resistance, 偶数, 宽

C. 相关文件

类型*	引用文件, 必要时, 指明相关段落	相关的权利要求
A	CN 1949067 A (三星电子株式会社) 2007年 4月 18日 (2007 - 04 - 18) 说明书第12-18页; 附图4, 5, 8A	1-17
A	CN 102566166 A (北京京东方光电科技有限公司) 2012年 7月 11日 (2012 - 07 - 11) 全文	1-17
A	CN 101644867 A (上海广电光电子有限公司) 2010年 2月 10日 (2010 - 02 - 10) 全文	1-17
A	KR 20030058758 A (LG PHILIPS LCD CO LTD) 2003年 7月 7日 (2003 - 07 - 07) 全文	1-17
A	US 2009195489 A1 (INNOLUX DISPLAY CORP) 2009年 8月 6日 (2009 - 08 - 06) 全文	1-17
A	KR 20070074789 A (SAMSUNG ELECTRONICS CO LTD) 2007年 7月 18日 (2007 - 07 - 18) 全文	1-17

 其余文件在C栏的续页中列出。 见同族专利附件。

* 引用文件的具体类型:

“A” 认为不特别相关的表示了现有技术一般状态的文件

“T” 在申请日或优先权日之后公布, 与申请不相抵触, 但为了理解发明之理论或原理的在后文件

“E” 在国际申请日的当天或之后公布的在先申请或专利

“X” 特别相关的文件, 单独考虑该文件, 认定要求保护的发明不是新颖的或不具有创造性

“L” 可能对优先权要求构成怀疑的文件, 或为确定另一篇引用文件的公布日而引用的或者因其他特殊理由而引用的文件(如具体说明的)

“Y” 特别相关的文件, 当该文件与另一篇或者多篇该类文件结合并且这种结合对于本领域技术人员为显而易见时, 要求保护的发明不具有创造性

“0” 涉及口头公开、使用、展览或其他方式公开的文件

“&” 同族专利的文件

“P” 公布日先于国际申请日但迟于所要求的优先权日的文件

国际检索实际完成的日期

2015年 8月 17日

国际检索报告邮寄日期

2015年 9月 22日

ISA/CN的名称和邮寄地址

中华人民共和国国家知识产权局(ISA/CN)

北京市海淀区蓟门桥西土城路6号

100088 中国

传真号 (86-10)62019451

受权官员

张华

电话号码 (86-10)62089908

国际检索报告

国际申请号

PCT/CN2014/095587

C. 相关文件

类型*	引用文件, 必要时, 指明相关段落	相关的权利要求
A	JP 2007017928 A (SANYO EPSON IMAGING DEVICES CO) 2007年 1月 25日 (2007 - 01 - 25) 全文	1-17

国际检索报告
关于同族专利的信息

国际申请号

PCT/CN2014/095587

检索报告引用的专利文件			公布日 (年/月/日)	同族专利		公布日 (年/月/日)
CN	1949067	A	2007年 4月 18日	JP	5143393	B2
				JP	2007108755	A
				CN	1949067	B
				KR	101240647	B1
				US	7764350	B2
				KR	20070040953	A
				US	2007085959	A1
				EP	1775624	A1
CN	102566166	A	2012年 7月 11日	KR	101321218	B1
				US	2012161140	A1
				KR	20120071364	A
				JP	2012133367	A
CN	101644867	A	2010年 2月 10日	CN	101644867	B
KR	20030058758	A	2003年 7月 7日	KR	100798316	B1
US	2009195489	A1	2009年 8月 6日	TW	200935149	A
				TW	367381	B1
KR	20070074789	A	2007年 7月 18日		无	
JP	2007017928	A	2007年 1月 25日		无	

表 PCT/ISA/210 (同族专利附件) (2009年7月)